

LC-MS 法鉴定艾滋病治疗药物去羟肌苷的有关物质^{*}

杜明莹, 连莹, 张军霞, 陈炜, 仲平^{**}

(河南省食品药品检验所, 郑州 450003)

摘要 目的: 采用高效液相色谱-质谱联用技术鉴定艾滋病治疗药物去羟肌苷的有关物质结构。方法: InertSurstain C₁₈ (250 mm × 4.6 mm, 5 μm) 色谱柱, 以 0.386% 醋酸铵溶液加氨水调节 pH 至 8.0 为流动相 A, 以甲醇-乙腈(50:50)为流动相 B, 进行梯度洗脱, 电喷雾正离子化高分辨 TOF/MS 和 MS/MS 检测并解析有关物质结构。TOF/MS 雾化气压力 345 kPa, 温度 350 °C, 干燥气流量 10 L·min⁻¹, 毛细管电压 4 kV, 碎片电压 100 V, MS/MS 测定氩气 CID 压力 0.2 Pa, 碰撞能量 25 eV。结果: 检测到去羟肌苷原料中共有 8 个有关物质, 通过有机反应机制分析和质谱解析鉴定了他们的结构, 他们分别是 9-(2-羟基-丁酸)-1, 4, 5, 7, 8, 9-六氢-嘌呤-6-酮、次黄嘌呤、肌苷、2'-去氧肌苷、9-(2-羟基-乙酰基)-1, 9-双氢-嘌呤-6-酮、3'-去氧肌苷、2', 3'-脱水肌苷、9-(2-羟乙基-4-丙酸甲酯-四氢呋喃)-1, 9-双氢-6H-嘌呤-6-酮。结论: 采用色谱-质谱联用技术能有效地鉴定去羟肌苷的有关物质, 可为其质量控制研究提供参考。

关键词: 艾滋病治疗药物; 嘌呤核苷类药物; 去羟肌苷; 杂质鉴定; 9-(2-羟基-丁酸)-1, 4, 5, 7, 8, 9-六氢-嘌呤-6-酮; 次黄嘌呤; 肌苷; 2'-去氧肌苷; 9-(2-羟基-乙酰基)-1, 9-双氢-嘌呤-6-酮; 3'-去氧肌苷; 2', 3'-脱水肌苷; 9-(2-羟乙基-4-丙酸甲酯-四氢呋喃)-1, 9-双氢-6H-嘌呤-6-酮; 液相色谱-质谱

中图分类号: R 917 文献标识码: A 文章编号: 0254-1793(2017)11-1986-08

doi: 10.16155/j.0254-1793.2017.11.10

LC-MS identification of the degradation products of didanosine^{*}

DU Ming-luo, LIAN Ying, ZHANG Jun-xia, CHEN Wei, ZHONG Ping^{**}

(Henan Institute for Food and Drug Control, Zhengzhou 450003, China)

Abstract **Objective:** To identify the related substances of didanosine by hyphenated LC-MS methods. **Methods:** The separation was carried out on InertSurstain C₁₈ (250 mm × 4.6 mm, 5 μm) column with mobile phase consisting of 0.386% ammonium acetate solution (adjust pH=8.0 by ammonia water solution) and methanol-acetonitrile (50:50) by gradient elution. The related substances were detected by positive ESI high resolution TOF/MS and their MS/MS spectra were determined as well. The conditions of TOF/MS were as follows: nebulizer pressure 345 kPa, gas temperature 350 °C, drying gas flow 10 L·min⁻¹, capillary voltage 4 kV and fragmentor 100 V. The argon collision

* 全球基金资助项目(No.GF2012-14)

** 通信作者 Tel:(0371)65566054; E-mail: zhongp3@126.com

第一作者 Tel:(0371)65566054; E-mail: philipdu@163.com

gas pressure of MS/MS was set at 0.2 Pa, and the collision energy at 25 eV. **Results:** There were 8 related substances in didanosine and their chemical structures were determined through the elucidation of their accurate TOF/MS data, the corresponding product MS spectra and further validated with the organic reaction mechanisms. The impurities were identified as 9-(2-oxo-4-butiric acid)-1,4,5,7,8,9-hexahydro-purin-6-amine, hypoxanthine, inosine, 2'-deoxyinosine, 9-(2-hydroxy-acetyl)-1,9-dihydrogen-purin-6-amine, 3'-deoxyinosine, 2',3'-anhydroinosine, 9-(2-ethoxy-4-methyl propionate-tetrahydrofuran)-1,9-dihydrogen-6H-purin-6-amine.

Conclusion: The LC-MS method is useful for the identification of related substances in pharmaceuticals. The related substances found in didanosine are valuable for its quality control.

Keywords: anti-HIV therapeutic preparation; purine nucleoside drug; didanosine; identification of impurities; 9-(2-oxo-4-butiric acid)-1,4,5,7,8,9-hexahydro-purin-6-amine; hypoxanthine; inosine; 2'-deoxyinosine; 9-(2-hydroxy-acetyl)-1,9-dihydrogen-purin-6-amine; 3'-deoxyinosine; 2',3'-anhydroinosine; 9-(2-ethoxy-4-methyl propionate-tetrahydrofuran)-1,9-dihydrogen-6H-purin-6-amine; LC-MS

去羟肌苷(didanosine, 2',3'-双脱氧肌苷, 见图1)是一种嘌呤核苷类逆转录酶抑制剂, 竞争性地抑制逆转录病毒对自然底物三磷酸双脱氧腺苷作用, 中止DNA链的延长, 从而阻碍HIV病毒的复制增殖。临幊上主要用于治疗齐多夫定(AZT)不耐受、无效或无症状HIV感染的艾滋病患者^[1-7]。合成工艺以肌苷为起始原料, 经过溴化反应、消除反应、氢化反应得到去羟肌苷, 其有关物质的分析鉴定研究尚未见报道。

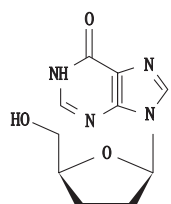


图1 去羟肌苷结构

Fig. 1 Chemical structure of didanosine

本文采用液相-质谱联用技术对其有关物质进行进行鉴定研究, 并进行强制破坏试验。去羟肌苷在酸破坏条件下不稳定, 主要破坏产物为次黄嘌呤, 在碱、光照及高温条件下较为稳定^[8-9], 对原料中8个主要有关物质进行了结构鉴定^[10-14], 其中3个有关物质并未见报道, 可为其质量控制提供参考依据。

1 仪器与试药

Shimadzu LC2010液相色谱仪, LC Solution工作站; Agilent 1 260 Infinity液相色谱-6224飞行时间质谱仪, MassHunter工作站; ThermoFinnigan TSQ Quantum Ultra AM型LC-MS/MS联用仪; Xcalibur工

作站。Sartorius BS21S电子天平。去羟肌苷对照品(批号: 14703-200401, 含量99.7%), 次黄嘌呤(杂质A, 批号: 140661-200903, 含量99.5%), 肌苷(杂质B, 批号: 140669-201104, 含量100%)均购自中国食品药品检定研究院; 2'-去氧肌苷(杂质C, 批号: D239755, 含量98%), 3'-去氧肌苷(杂质D, 批号: D239760, 含量98%), 2',3'-脱水肌苷(杂质E, 批号: A648370, 含量97%)均购自Toronto Research Chemicals公司; 2',3'-二去氧-2',3'-二去氢肌苷(杂质F, 批号: RGT8936, 含量99%)购自深圳市瑞吉特生物科技有限公司; 系统适用性试验对照品(批号: 69655-05-6, 含去羟肌苷98.4%, 杂质A 0.5%, 杂质B 0.2%, 杂质C 0.3%, 杂质D 0.2%, 杂质E 0.2%, 杂质F 0.2%, USP对照品); 去羟肌苷原料(批号: 20121001、20121002、20121003)由河南天方药业股份有限公司提供; 甲醇和乙腈为色谱纯, 实验用水为超纯水。

2 方法与结果

2.1 色谱条件

参照ChP2015选择如下色谱条件^[12]。InertSustain C₁₈(250 mm×4.6 mm, 5 μm; 填料: 十八烷基硅烷键合硅胶)色谱柱, 以0.386%醋酸铵溶液加氨水调节pH至8.0为流动相A, 以乙腈-甲醇(50:50)为流动相B, 进行线性梯度洗脱(A-B)0 min(92:8)→15 min(92:8)→30 min(70:30)→45 min(70:30)→50 min(92:8)→60 min(92:8), 检测波长254 nm, 进样体积20 μL, 柱温25 °C。

2.2 质谱条件

TOF/MS 质谱条件: Dual ESI 正离子扫描, 雾化气压力 350 kPa, 温度 350 ℃, 干燥气流量 10 L·min⁻¹, 毛细管电压 4 kV, 碎片电压 100 V, 参比离子 m/z 121.050 8 和 922.009 7, 质量数扫描范围 m/z 100~1200。

MS/MS 质谱条件: 喷雾电压 5 kV, 雾化气压 310 kPa, 辅助气压力 35 kPa, 毛细管温度 350 ℃, 二级质谱扫描碰撞氩气压力 0.20 Pa, 碰撞能量 25 eV。

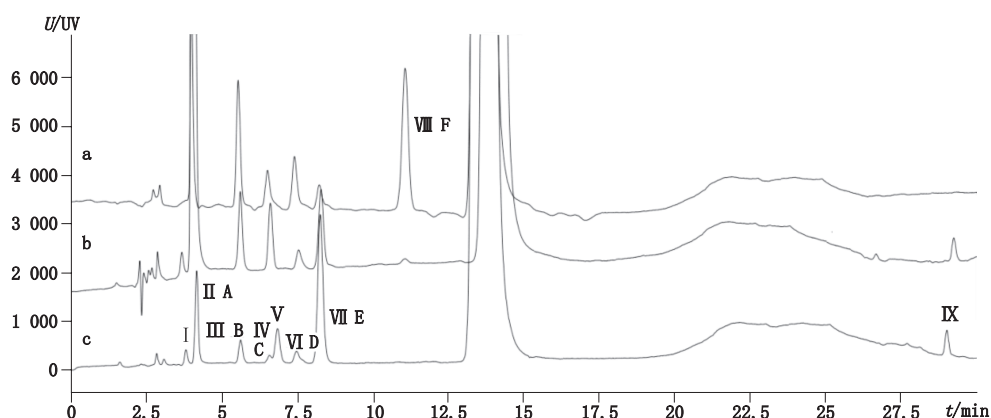
2.3 系统适用性试验

精密称取系统适用性试验对照品适量, 加稀释液(流动相 A-B=90:10)溶解并定量稀释制成含去羟肌苷 0.5 mg·mL⁻¹的溶液, 按“2.1”色谱条件, 精密量取 20 μL 注入液相色谱仪, 记录色谱图, 见图 2-a。

测得理论板数按去羟肌苷峰计算为 6 589, 杂质 C 峰与杂质 D 峰间的分离度为 3.8。

2.4 有关物质检查

精密称取去羟肌苷原料 25 mg, 置 50 mL 量瓶中, 用稀释液溶解并稀释至刻度, 摆匀, 作为供试品溶液。按照“2.1”项色谱条件进行试验 HPLC-UV 色谱图中共显示有 8 个主要有关物质峰(杂质编号为 I ~ VIII), 见图 2-c。由于去羟肌苷在强碱、高温、和光照条件下较稳定, 在酸性条件下降解产物较多^[5], 酸破坏溶液色谱图, 见图 2-b。结果显示去羟肌苷有关物质 II、III、IV、VIII 可能为降解杂质, 有关物质 I、V、VII、IX 可能由生产过程中代入。有关物质 II、III、IV、VI、VII 的液相色谱相对保留时间与 USP 系统适用性溶液中杂质 A~E 的相对保留时间一致, 杂质 F 未检出, 结果见表 1~2。



I ~ VII. 杂质峰编号 (No.of impurity peaks) A~F. 杂质 A~F (impurities A~F)

图 2 系统适用性(a)、酸破坏溶液(b)和原料(c)有关物质检查色谱图

Fig 2. Chromatograms for related substances of system suitability solution (a), acid stress solution (b) and didanosine (c)

表 1 去羟肌苷有关物质的 ESI-TOF/MS 高分辨测定结果

Tab.1 Accurate mass results of the related substances of didanosine by ESI high resolution TOF/MS

| No. | RRT | 检测值 (experimental mass) | 理论值 (theoretical mass) | 生成分子式 (proposed molecular formula) | No. | RRT | 检测值 (experimental mass) | 理论值 (theoretical mass) | 生成分子式 (proposed molecular formula) |
|---------|------|----------------------------|---------------------------|---|----------|------|----------------------------|---------------------------|---|
| I | 0.28 | 240.088 1 | 240.085 9 | C ₉ H ₁₂ N ₄ O ₄ | VI (D) | 0.55 | 252.085 7 | 252.085 9 | C ₁₀ H ₁₂ N ₄ O ₄ |
| II (A) | 0.31 | 136.039 6 | 136.038 5 | C ₅ H ₈ N ₄ O | VII (E) | 0.61 | 250.072 7 | 250.070 2 | C ₁₀ H ₁₀ N ₄ O ₄ |
| III (B) | 0.41 | 268.080 8 | 268.081 5 | C ₁₀ H ₁₂ N ₄ O ₅ | VIII (F) | 0.81 | 234.078 1 | 234.075 3 | C ₁₀ H ₁₀ N ₄ O ₃ |
| IV (C) | 0.48 | 252.084 1 | 252.085 9 | C ₁₀ H ₁₂ N ₄ O ₄ | IX | 2.13 | 336.144 2 | 336.143 4 | C ₁₅ H ₂₀ N ₄ O ₅ |
| V | 0.50 | 194.043 5 | 194.044 0 | C ₇ H ₆ N ₄ O ₃ | | | | | |

表 2 去羟肌苷有关物质 MS/MS 二级碎片

Tab. 2 The MS/MS fragments of the related substances of didanosine

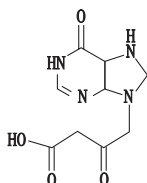
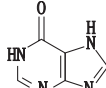
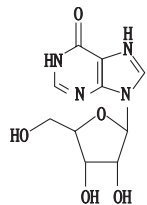
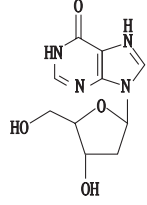
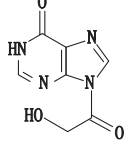
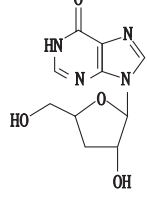
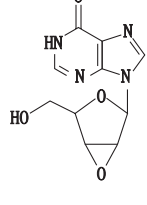
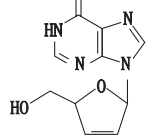
| 编号 (No.) | $[M+H]^+/(m/z)$ | 碎片离子 (product ions)/(m/z) | 化学结构 (chemical structure) | 命名 (name) |
|---------------|-----------------|----------------------------------|---|---|
| I | 241 | 177, 159, 140, 99 |  | 9-(2-羟基-丁酸)-1,4,5,7,8,9-六氢-嘌呤-6-酮 [9-(2-hydroxybutyryl)-1,4,5,7,8,9-hexahydro-purin-6-amine] |
| II (A) | 137 | 119, 95 |  | 次黄嘌呤 (hypoxanthine) |
| III (B) | 269 | 165, 137 |  | 肌苷 (inosine) |
| IV (C) | 253 | 217, 137 |  | 2' - 去氧肌苷 (2' -deoxyinosine) |
| V | 195 | 177, 163, 149, 137 |  | 9-(2-羟基乙酰基)-1,9-双氢-嘌呤-6-酮 [9-(2-hydroxyacetyl)-1,9-dihydro-purin-6-amine] |
| VI (D) | 253 | 217, 183 |  | 3' - 去氧肌苷 (3' -deoxyinosine) |
| VII (E) | 251 | 233, 219, 137 |  | 2',3' - 脱水肌苷 (2',3' -anhydroinosine) |
| VIII (F) | 235 | 217, 143 |  | 2',3' - 二去氧-2',3' - 二去氢肌苷 [2',3' -dideoxy-2',3' -didehydroinosine] |

表 2(续)

| 编号 (No.) | $[M+H]^+/(m/z)$ | 碎片离子 (product ions)/(m/z) | 化学结构 (chemical structure) | 命名 (name) |
|------------------------|-----------------|----------------------------------|--------------------------------|--|
| IX | 337 | 263, 203, 183, 137 | | 9-(2-羟乙基-4-丙酸甲酯-四氢呋喃)-1,9-双 氢-6H-嘌呤-6-酮 [9-(2-ethoxy-4-methyl propionate- tetrahydrofuran)-1,9-dihydrogen-6H-purin-6- amine] |
| 去羟肌苷 (didanosine) | 237 | 219, 137 | | 去羟肌苷 (didanosine) |

2.5 有关物质结构鉴定

2.5.1 LC-TOF/MS 测定 按“2.1”、“2.2”项所述条件,对去羟肌苷有关物质进行 ESI 高分辨 TOF/MS 检测,测定各有关物质的精确离子质量,设置杂质组成为 C、H、O、N 并通过 Mass Hunter 软件匹配计算其离子式,质量偏差均小于 3×10^{-6} 。

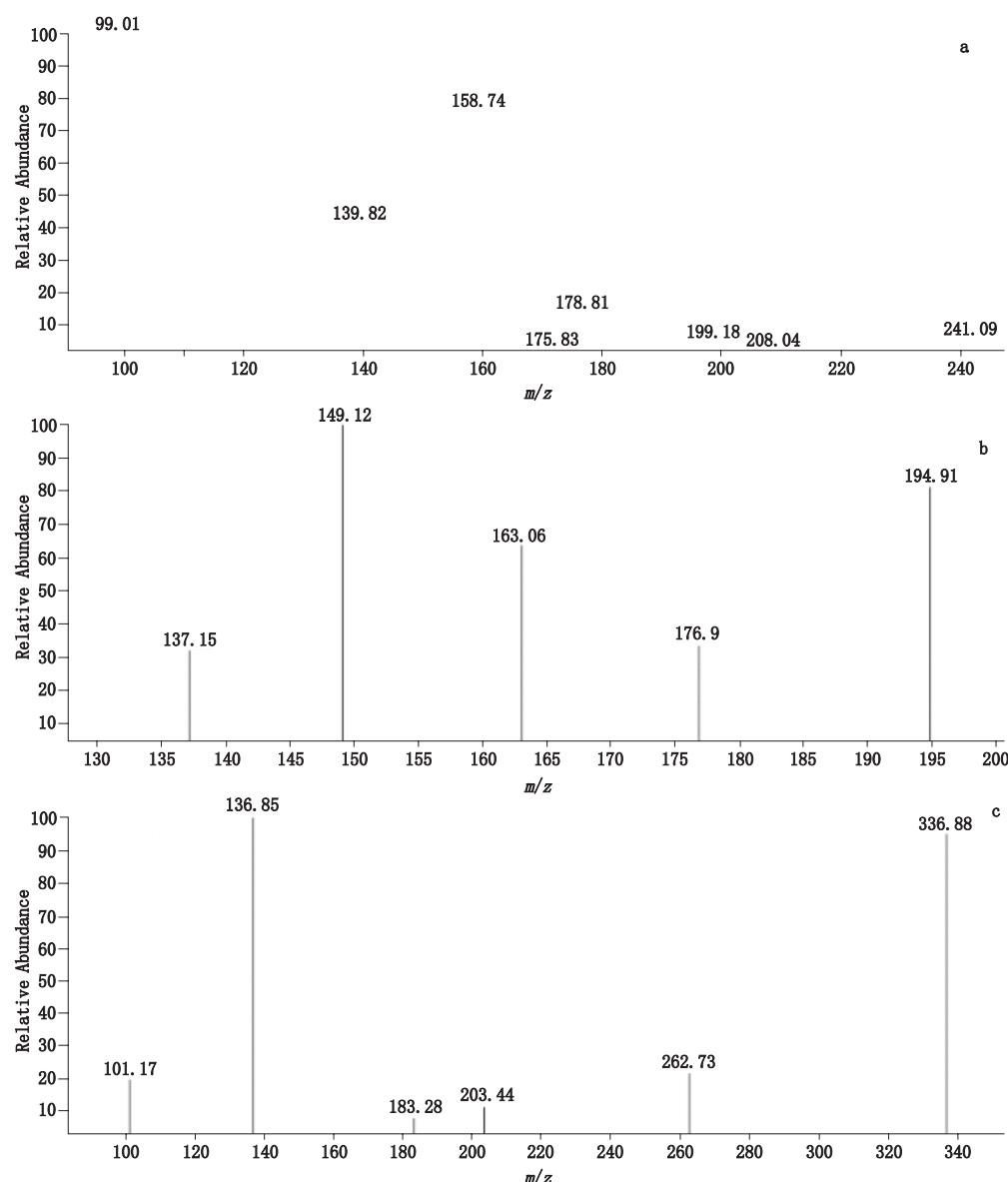
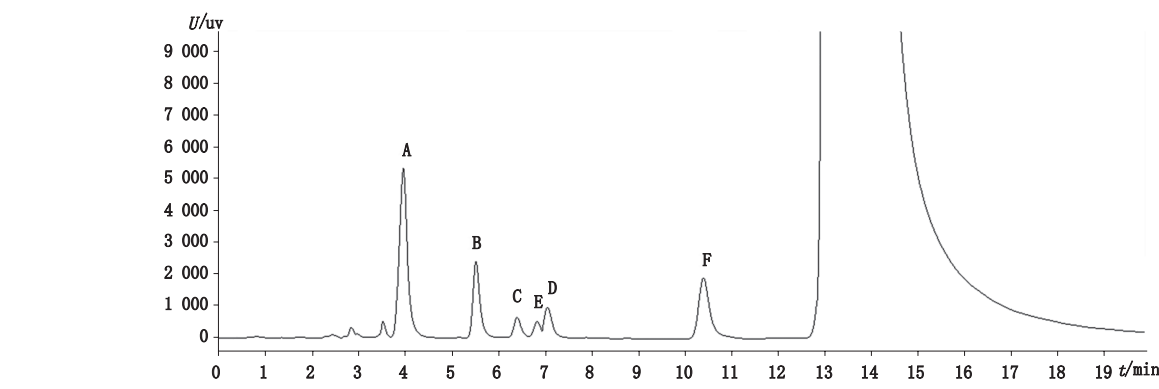
结果显示去羟肌苷有关物质 II、III、IV、VI、VII 的精密质量及相对保留时间与已知杂质 A~E 一致,结果见表 1。

2.5.2 有关物质 MS/MS 结构鉴定 按“2.2”所述质谱条件,测得去羟肌苷有关物质 II、III、IV、VI、VII 二级质谱碎片与杂质 A~E 的二级质谱碎片一致,结合相对保留时间和 TOF/MS 测定的结果,推测去羟肌苷原料中含有 5 个已知杂质和 3 个未知杂质,MS/MS 主要碎片离子见表 2。3 个未知杂质二级质谱图见图 3。去羟肌苷裂解途径见图 5-a, 已知杂质 A~F 裂解途径见图 5-b~g。

有关物质 I 为未知杂质, 其准确分子量为 240.088 1, 通过 TOF/MS 得到的分子式为 $C_9H_{12}N_4O_4$, 主要特征碎片离子为 m/z 177、 m/z 159、 m/z 140 与 m/z 99, 见图 3-a。杂质可能是生产过程中带入, m/z 177 为母离子脱去一分子 H_2O (18 amu) 和 1 分子 $HCOOH$ (46 amu), m/z 159 为 m/z 177 脱去一分子 H_2O (18 amu), m/z 140 为母离子开环后脱去 1 分子 $HCOOH$ (46 amu)、一分子 CO (28 amu) 和一分子 HCN (17 amu) 得到, m/z 99 为母离子开环后得到。有关物质 II 可能为 9-(2-氧基-丁酸)-1,4,5,7,8,9-六氢-嘌呤-6-酮, 裂解途径见图 4-h。

有关物质 V 为未知杂质, 其准确分子量为 194.043 5, 通过 TOF/MS 得到的分子式为 $C_7H_6N_4O_3$, 主要特征碎片离子为 m/z 177、 m/z 163、 m/z 149 与 m/z 137, 见图 4-b。 m/z 177 为母离子脱去一分子 H_2O (18 amu), m/z 149 为 m/z 177 脱去一分子 CO (28 amu), m/z 163 为母离子脱去一分子 CH_3OH (32 amu), m/z 137 说明母离子与次黄嘌呤有相同的结构。有关物质 V 可能为 9-(2-羟基-乙酰基)-1,9-双氢-嘌呤-6-酮, 裂解途径见图 4。

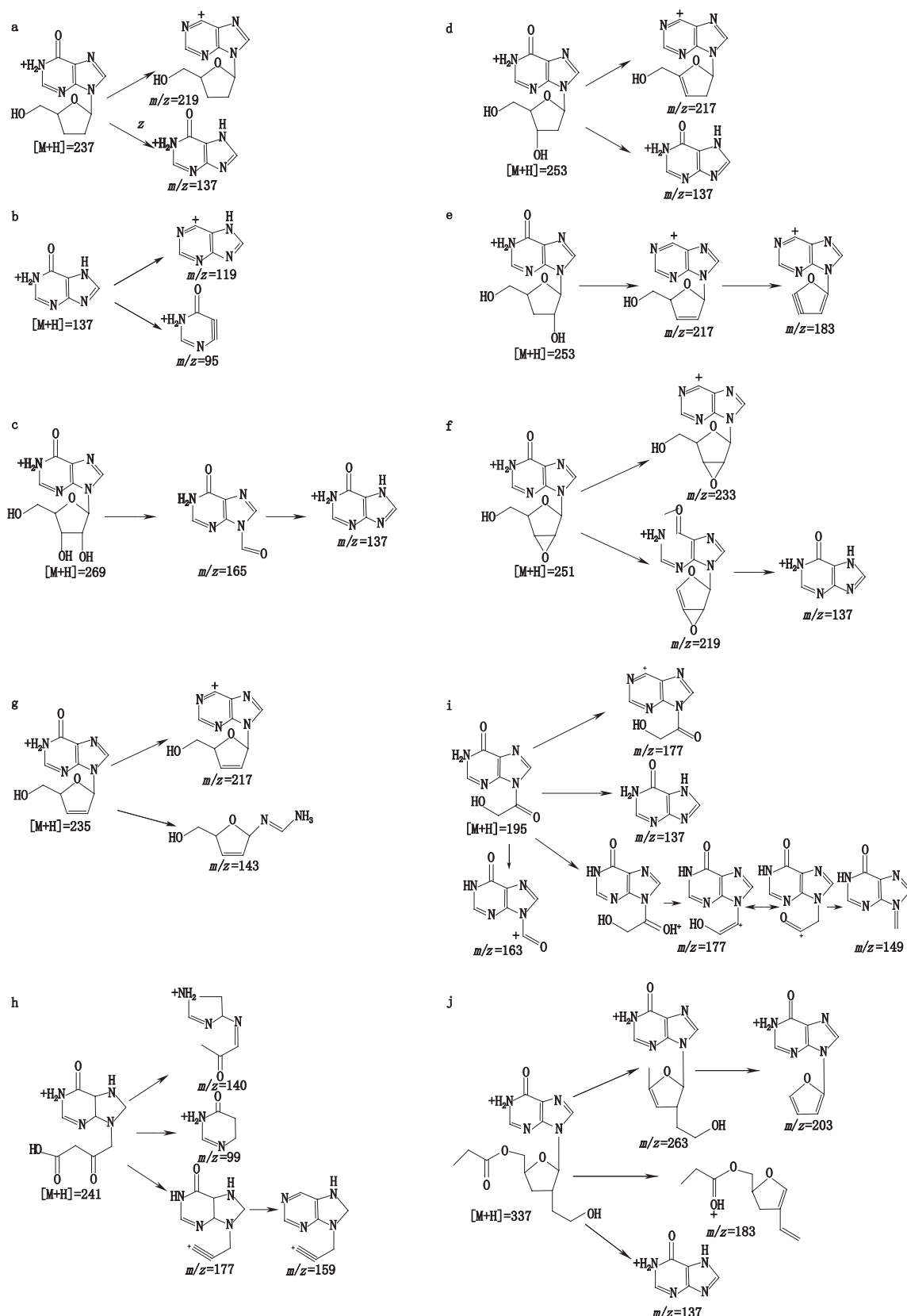
有关物质 IX 为未知杂质, 其准确分子量为 336.144 2, 通过 TOF/MS 得到的分子式为 $C_{15}H_{20}N_4O_5$, 主要特征碎片离子为 m/z 263、 m/z 203、 m/z 183、 m/z 137 与 m/z 101, 见图 3-c。 m/z 263 为母离子脱去一分子 CH_3CH_2COOH (74 amu), m/z 203 为母离子脱去 CH_3CH_2OH (46 amu) 和一分子 $CH_3CH_2COOCH_3$ (88 amu), m/z 183 为母离子脱去一分子 H_2O (18) 及次黄嘌呤 (136 amu), m/z 137 说明母离子与次黄嘌呤有相同的结构, 通过去羟肌苷原料的合成路线, 与碎片离子的质荷比, 有关物质 IX 的可能为 9-(3-乙氧基-4-丙酸甲酯-四氢呋喃)-1,9-双氢-6H-嘌呤-6-酮, 裂解途径见图 5。

图 3 杂质 I(a)、V(b)、IX(c)[M+H]⁺离子的二级质谱图Fig 3 MS/MS spectra of [M+H]⁺ ions of impurity I(a), impurity V(b) and impurity IX(c)

A~F. 杂质 A~F (impurity A~F)

图 4 系统适用性溶液色谱图(EP9.0)

Fig. 4 HPLC chromatogram of system suitability solution



a. 去羟肌苷(didanosine) b. II(A) c. III(B) d. IV(C) e. VI(D) f. VII(E) g. III(F) h. I i. V j. IX [A~F. 同图4(same as Fig.4)]

图5 去羟肌苷有关物质裂解途径

Fig 5 Proposed fragmentation schemes for didanosine and the related substances of it

3 讨论

按照 EP 9.0 中去羟肌苷原料有关物质检查色谱条件^[15],采用不同厂家的 3 根色谱柱进行测定,杂质 C、D、E 之间的分离较差,杂质 D 与 E 的相对保留时间分别为 0.52 和 0.50 (EP9.0 正文中规定杂质 D 与 E 的相对保留时间为 0.48、0.5),出峰顺序与正文描述的相反,见图 4,并通过 LC-TOF/MS 对结果进行了确认。采用液相色谱-质谱连用技术对去羟肌苷原料中 3 个未知杂质的结构鉴定,可以为其质量控制提供参考依据。

参考文献

- [1] 赵红卫,秦玉花,张伟,等.进口去羟肌苷肠溶胶囊在中国健康男青年体内药物动力学研究 [J].中华实用诊断与治疗杂志,2010,24(1):16
- ZHAO HW, QIN YH, ZHANG W, et al. Pharmacokinetics of imported didanosine enteric capsules in healthy Chinese young men [J]. J Chin Pract Diagn Ther, 2010, 24 (1): 16
- [2] 徐先彬,李扬,刘蕾,等. RP-HPLC 法测定人血浆中去羟肌苷的浓度 [J]. 药物分析杂志, 2006, 26 (4): 491
- XU XB, LI Y, LIU L, et al. RP-HPLC determination of didanosine concentration in human plasma [J]. Chin J Pharm Anal, 2006, 26 (4): 491
- [3] 卢云雯,陈芬儿. 去羟肌苷的化学合成路线图解 [J]. 中国医药工业杂志, 2002, 33 (6): 310
- LU YW, CHEN FE. Graphical synthetic routes of dideoxyinosine [J]. Chin J Pharm, 2002, 33 (6): 310
- [4] 杨蓓,郁颖佳,陶芸莺,等. 国产去羟肌苷散剂与进口去羟肌苷片剂的人体生物等效性 [J]. 中国新药与临床杂志, 2005, 24 (9): 701
- YANG B, YU YJ, TAO YY, et al. Bioequivalence of domestic didanosine powders and imported didanosine tablets in human [J]. Chin J New Drugs Clin Rem, 2005, 24 (9): 701
- [5] 靳凤丹,陈笑艳,于河舟,等. 血浆中去羟肌苷测定与制剂生物等效性评价 [J]. 中国药学杂志, 2006, 41 (13): 1016
- JIN FD, CHEN XY, YU HZ, et al. Determination of didanosine in human plasma and its application to a bioequivalence study [J]. China Pharm J, 2006, 41 (13): 1016
- [6] 官常荣,何平,徐戎,等. 国产与进口去羟肌苷分散片在健康人体的生物等效性 [J]. 中国临床药理学杂志, 2007, 23 (5): 336
- GUAN CR, HE P, XU R, et al. Bioequivalence of domestic and imported didanosine dispersing tablets in healthy volunteer [J]. Chin J Clin Pharmacol, 2007, 23 (5): 336
- [7] PERRY CM, NOBLE S. Didanosine: An updated review of its use in HIV [J]. Drugs, 1999, 58 (6): 1099
- [8] 连莹,仲平. 容量滴定法测定去羟肌苷含量的分析方法与认可 [J]. 药物分析杂志, 2015, 35 (6): 1110
- LIAN Y, ZHONG P. Methodological verification and approval of the volumetric titration determination of didanosine [J]. Chin J Pharm Anal, 2015, 35 (6): 1110
- [9] 杜明萍,张军霞,秦志国,等. RP-HPLC 法测定去羟肌苷肠溶胶囊有关物质及含量 [J]. 药物分析杂志, 2016, 36 (2): 346
- DU ML, ZHANG JX, QIN ZG, et al. RP-HPLC Determination of related substances and assay in didanosine enteric-coated capsules [J]. Chin J Pharm Anal, 2016, 36 (2): 182
- [10] DE OLIVEIRA AM, LÖWEN TC, CABRALM LM, et al. Development and validation of a HPLC-UV method for the determination in didanosine tablets [J]. J Pharm Biomed Anal, 2005, 38: 751
- [11] 刘蕾,徐先彬,李杨,等. HPLC-MS/MS 同时测定人血浆中 4 种抗 HIV 感染药物的浓度 [J]. 药物分析杂志, 2007, 27 (5): 681
- LIU L, XU XB, LY , et al. HPLC-MS/MS simultaneous determination of four anti-HIV drugs in human plasma [J]. Chin J Pharm Anal, 2007, 27 (5): 681
- [12] 中国药典 2015 年版. 二部 [S]. 2015: 114
- ChP2015. Volume II [S]. 2015: 114
- [13] MALLAMPATI S, LEONARD S, DE VULDER S, et al. Method development and validation for the analysis of didanosine using micellar electrokinetic capillary chromatography [J]. Electrophoresis, 2005, 26 (21): 4097
- [14] SANGSHETTIJAIPRAKASH N. , KULKARNI PARAG A, SHINDEDEVANAND B. Spectrophotometric determination of didanosine in bulk and tablet formulation [J]. Trends Applied Sci Res, 2007, 2 (1): 71
- [15] EP9.0 [S]. 2016: 2250

(本文于 2016 年 12 月 21 日收到)